

05.4; 11

ПРЕДЕЛЬНЫЕ ТОКИ АВТОЭЛЕКТРОННОЙ ЭМИССИИ
И ВЗРЫВОЭМИССИОННЫЕ ПРОЦЕССЫ
В ВЫСОКОТЕМПЕРАТУРНЫХ СВЕРХПРОВОДНИКАХ

С.А. Баренгольц, Е.А. Литвинов,
Г.А. Месяд

В работах [1-3] исследовались автоэмиссионные и взрывоэмиссионные процессы в высокотемпературных сверхпроводниках (ВТСП). Экспериментально установлено, что спектр эмитированных электронов близок к металлическому, вольт-амперные характеристики в координатах Фаулера-Нордгейма представляют собой, как правило, прямые линии. Предельные токи I_{pr} автоэмиссии составляют единицы А в диапазоне времен запаздывания взрыва микросстрий t_3 десятки-сотни наносекунд. На осциллограммах предпробойного тока отсутствовало нарастание. После кондиционирования катода импульсными дуговыми разрядами электрическая прочность вакуумного промежутка возрастила в 2-2.5 раза при охлаждении до 4.2 К. Отмечена большая эрозия катода в процессе взрывной эмиссии.

Величина предельного тока автоэмиссии ограничена разогревом эмитирующего острия-выступа на катоде. Запишем уравнение теплового баланса следующим образом [4]:

$$\int_V c(T_2 - T_1) dV = - \int_{t_1}^{t_2} dt \int_{S_b} \frac{j_\vartheta}{e} \Delta E dS_b + \int_{t_1}^{t_2} dt \int_{S_V} \lambda \nabla T dS_V + \\ + \int_{t_1}^{t_2} dt \int_V j^2 \varrho dV, \quad (1)$$

где c — теплоемкость единицы объема, T_1 и T_2 — температура в момент времени t_1 и t_2 соответственно, dV — элемент объема, dS_V — площадка в объеме эмиттера, dS_b — эмитирующая поверхность (см. рис. 1), $\frac{j_\vartheta}{e} \Delta E$ — плотность потока тепла за счет эффекта Ноттингама, $\lambda \nabla T$ — за счет теплопроводности, $j^2 \varrho$ — джоулево тепловыделение, j_ϑ — плотность тока через границу эмиссии, j — в объеме эмиттера, ϱ — удельное электросопротивление, λ — коэффициент теплопроводности, ΔE — средняя энергия эмитированного электрона, отсчитанная от уровня Ферми.

Зависимости $j_\vartheta(T)$ и $\Delta E(T)$ учитывались по формулам, приведенным в [5]. Аппроксимация формы эмиттера и учет объемного заряда проводились согласно [6, 7], величины ϱ , λ , c брались из работ [8-10]. В зависимости $\varrho(T)$ не учитывалось отклонение сопротивления от линейного роста в области высоких температур, связанное с несовершенством образцов.

Необходимо отметить некоторые особенности разогрева микроэмиттеров из ВТСП протекающим автоэмиссионным током. Низкая температура плавления достигается в привершинной области, поскольку температура инверсии T_i эффекта Ноттинггама 2000 К превышает температуру плавления $T_p \approx 1500$ К данного материала. Джоулемо тепловыделение преобладает над эффектом Ноттинггама при комнатных температурах и выше, вследствие более высокого (по сравнению с обычными металлами) удельного электросопротивления $\gamma_{YBa_2Cu_3O_7-\delta}$.

На рис. 1 представлены расчетные осциллограммы предпробойного тока. Как видно из данных осциллограмм, величина предельного тока составляет единицы mA , что согласуется с экспериментальными данными [1-3]. Отсутствие нарастания связано с большой работой выхода $\gamma_{YBa_2Cu_3O_7-\delta}$ и высокой T_i в формулах для плотности тока [5], вследствие чего термодобавка к току мала.

Согласно расчетам, охлаждение до 4.2 К приводит к увеличению пробойного напряжения на несколько процентов. Таким образом, экспериментально наблюдаемое увеличение электрической прочности в 2-2.5 раза при охлаждении нельзя объяснить изменением теплофизических характеристик (α , λ , c) ВТСП или переходом в сверхпроводящее состояние. Это свидетельствует, на наш взгляд, о сильной температурной зависимости эмиссионного тока. Для определения характера эмиссии необходимо экспериментальное исследование автоэмиссионных свойств (вольт-амперных характеристик, спектров эмитированных электронов) ВТСП после кондиционирования.

Проводилось исследование эрозии материала катода в процессе взрывной эмиссии. При достижении T_p в уравнении (1) задавался линейный рост тока, т.е. моделировалась экспериментальная осциллограмма. При некоторой критической температуре T_{kp} , величина которой варьировалась в пределах от 2000 до 20000 К, счита-

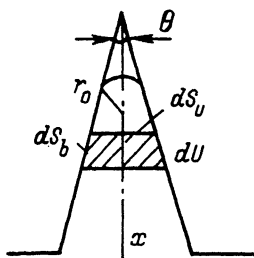
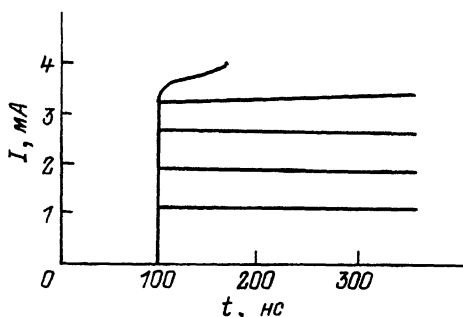
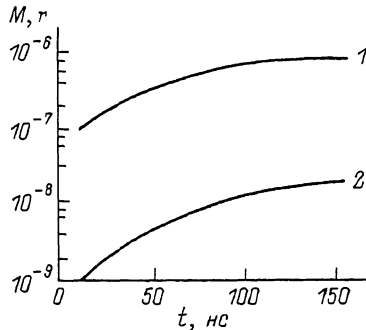


Рис. 1. Осциллограммы предпробойного тока. Радиус эмиссии $r_0 = 210$ см, угол раствора $\theta = 20^\circ$.

Рис. 2. Зависимость уносимой массы от времени в процессе взрывной эмиссии для катода из $\text{YBa}_2\text{Cu}_3\text{O}_{7-\delta}$ (1) и катода из Nb (2). Взрывоэмиссионный ток $I = 100$ А.



лось, что слой, которому соответствует данная температура, уносился. Изменение T_{kp} слабо влияет, как показали расчеты, вследствие малой теплопроводности.

Как видно из рис. 2, унос массы для катода из ВТСП существенно выше чем для Nb, что связано с различием теплофизических характеристик данных материалов. Результаты расчета соответствуют экспериментальным данным [1-3].

Таким образом, можно сделать вывод о том, что более низкие предельные токи и большая эрозия катодов из ВТСП в процессе взрывной эмиссии (по сравнению с обычными металлами) обусловлены различием их теплофизических свойств (высоким удельным электросопротивлением, меньшими теплопроводностью и теплоемкостью). Для исследования влияния температуры на эмиссионные токи необходимы дополнительные эксперименты.

С п и с о к л и т е р а т у р ы

- [1] Месяц В.Г., Шкуратов С.И. // Письма в ЖТФ. 1988. Т. 14. В. 16. С. 1441-1444.
- [2] Месяц В.Г., Шкуратов С.И. Труды 1 Всесоюзного рабочего совещания по проблеме высокотемпературной сверхпроводимости. Свердловск, 1987. Т. 2. С. 248-250.
- [3] Месяц В.Г., Шкуратов С.И. Сер. препринтов научных докладов „Проблемы высокотемпературной сверхпроводимости“ УрО АН СССР, Сыктывкар, 1988. В. 4. 24 С.
- [4] Barengoult S.A. et al. XIII Int. Symp. on Discharges and Electrical Insulation in Vacuum, Paris, 1988. V. 1. P. 28-30.
- [5] Литвинов Е.А., Месяц Г.А., Прокуроровский Д.И. - Успехи физ. наук. 1983. Т. 189. В. 2. С. 265-287.
- [6] Dyke W.P., Trolan J.K., Dolan W.W., Barnes G. // J. Appl. Phys. 1953. V. 24. N 5. P. 570-578.
- [7] Елинсон М.И., Васильев Г.Ф. Автоэлектронная эмиссия. М: Физматгиз. 1958. 272 с.

- [8] Gurvitch M., Fiory A.T. // Appl. Phys. Lett. 1987. V. 51. P. 1027.
[9] Freeman J.J. et al // Phys. Rev. B. 1987. V. 36. N 16. P. 8786-8787.
[10] Junod A. et al // Jap. J. Appl. Phys. 1987. v. 26. S. 26-3. P. 1119.

Поступило в Редакцию
12 апреля 1989 г.

Письма в ЖТФ, том 15, вып. 13

12 июля 1989 г.

02; 04; 07

КИНЕТИКА НАСЕЛЕННОСТИ ВОЗБУЖДЕННЫХ ИОНОВ В РАЗЛЕТАЮЩЕЙСЯ ЛАЗЕРНОЙ ПЛАЗМЕ: СРАВНЕНИЕ ДАННЫХ КАРС И СПОНТАННОГО СВЕЧЕНИЯ

С.М. Гладков, А.М. Желтиков,
Н.И. Коротеев, И.С. Колева,
А.Б. Федотов

1. Возможность спектроскопии возбужденных ионов в низкотемпературной плазме, в том числе лазерной, с помощью когерентного антистоксова рассеяния света (КАРС) была недавно продемонстрирована в экспериментальных работах [1, 2]. В них было зарегистрированы процессы КАРС, происходящие с участием возбужденных атомарных ионов азота, алюминия, индия. В настоящей статье мы приводим результаты экспериментов по КАРС на возбужденных в лазерной плазме ионах азота и алюминия. Показано, что кинетики спонтанного свечения плазмы и КАРС на тех же переходах существенно отличны: интенсивность КАРС максимальна, когда свечение плазмы уже значительно ослабло. Качественные черты этой картины воспроизведены в простой численной модели распадающейся квазиравновесной плазмы, с учетом выхода линейчатого излучения.

2. В использованной нами схеме метода КАРС резонансное возрастание интенсивности рассеянного сигнала имеет место в том случае, когда частота рассеянного сигнала $\omega_a = 2\omega_1 - \omega_2$ совпадает с частотой какой-либо линии спонтанного свечения плазмы. В нашей схеме ω_1 — излучение второй гармоники лазера на $Na:YAG$, а ω_2 — перестраиваемое по частоте излучение лазера на растворе органического красителя. При выполнении условий такого резонанса интенсивность когерентного рассеяния на несколько порядков пре-
восходит интенсивность спонтанного свечения плазмы (см. ниже, а так же работы [1, 3]).

3. Цель наших экспериментов состояла в исследовании спектра и кинетики антистоксова сигнала $\omega_a = 2\omega_1 - \omega_2$, генерируемого в области оптического пробоя излучения $Na:YAG$ лазера на поверх-